

## ДЕФОРМИРОВАНИЕ ТРЕХСЛОЙНОГО УПРУГОПЛАСТИЧЕСКОГО СТЕРЖНЯ, ЧАСТИЧНО ОПЕРТОГО НА УПРУГОЕ ОСНОВАНИЕ, ПОД ДЕЙСТВИЕМ РАВНОМЕРНО РАСПРЕДЕЛЕННОЙ НАГРУЗКИ

Поддубный А. А.

*УО «Белорусский государственный университет транспорта», Гомель*

Рассматривается изгиб трехслойного стержня ступенчато-переменного сечения, частично опертого на два участка упругого основания различной жесткости (рис. 1). На стержень действуют поперечные распределенные нагрузки. Принято, что наружные несущие слои являются упругопластическими, наполнитель – нелинейно упругий.

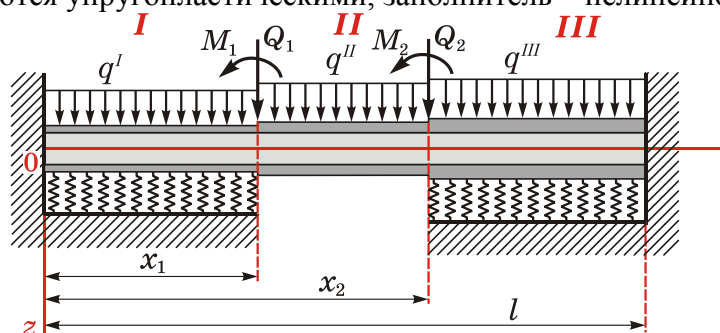


Рис. 1 – Расчетная схема трехслойного стержня ступенчато-переменного сечения, опертого на два участка основания

Для связи напряжений и деформаций в слоях используются уравнения теории малых упругопластических деформаций Ильюшина [1] ( $i, j = x, y, z$ ):

$$s_{ij}^{(k)n} = 2G_k f^{(k)n} \varepsilon_{ij}^{(k)n}; \quad \sigma^{(k)n} = 3K_k 3\varepsilon^{(k)n}, \quad (1)$$

где  $s_{ij}^{(k)n}, \varepsilon_{ij}^{(k)n}$  – девиаторы тензоров напряжений и деформаций на  $n$ -м участке,

$\sigma^{(k)n}, \varepsilon^{(k)n}$  – их шаровые части;

$G_k, K_k$  – модуль сдвига и объемный модуль материала  $k$ -го слоя;

$f^{(1)n}, f^{(2)n}$  – функции пластичности в несущих слоях;

$f^{(3)n}$  – функция нелинейности в наполнителе.

Функции пластичности и нелинейности в соотношениях (1) удобно представить в виде:

$$f^{(k)n} = 1 - \omega^{(k)n}; \quad \omega^{(k)n} < 1. \quad (2)$$

Аналитический вид функций  $\omega^{(k)n}$  взят из [2]:

$$\omega^{(k)n}(\varepsilon_u^{(k)}) = \begin{cases} 0, & \varepsilon_u^{(k)} \leq \varepsilon_s, \\ A_1(1 - \varepsilon_s / \varepsilon_u^{(k)})^{\alpha_1}, & \varepsilon_u^{(k)} > \varepsilon_s; \end{cases}$$

где  $\varepsilon_s$  – деформационный предел текучести (для несущих слоев) или физической нелинейности (для наполнителя);  $A_1, \alpha_1$  – константы материалов,  $\varepsilon_u^{(k)}$  – интенсивность деформаций в  $k$ -м слое

$$\varepsilon_u^{(k)} = \frac{\sqrt{2}}{3} \sqrt{(\varepsilon_x^{(k)} - \varepsilon_y^{(k)})^2 + (\varepsilon_y^{(k)} - \varepsilon_z^{(k)})^2 + (\varepsilon_z^{(k)} + \varepsilon_x^{(k)})^2 + 6[(\varepsilon_{xy}^{(k)})^2 + (\varepsilon_{yz}^{(k)})^2 + (\varepsilon_{zx}^{(k)})^2]}$$

Если интенсивность деформаций не превышает в несущих слоях деформационного предела текучести, в заполнителе деформационного предела физической нелинейности, то  $\omega^{(k)n} = 0$ , а  $f^{(k)n} = 1$ .

Для рассматриваемого стержня интенсивность деформаций в  $k$ -м слое на  $n$ -м участке

$$\begin{aligned}\varepsilon_u^{(1)n} &= \frac{2}{3} \sqrt{(\varepsilon_x^{(1)n})^2}; & \varepsilon_u^{(2)n} &= \frac{2}{3} \sqrt{(\varepsilon_x^{(2)n})^2}; \\ \varepsilon_u^{(3)n} &= \frac{2}{3} \sqrt{(\varepsilon_x^{(3)n})^2 + 3(\varepsilon_{zx}^{(3)n})^2} = \frac{2}{3} \sqrt{(\varepsilon_x^{(3)n})^2 + \frac{3}{4}(\Psi^n)^2}.\end{aligned}$$

**Уравнения равновесия и их решения в рекуррентном виде.** Получены системы уравнений равновесия в перемещениях для участков, опирающихся и не опирающихся на упругое основание, и их аналитические решения в итерациях [3].

Прогиб, сдвиг в заполнителе и продольное перемещение  $n$ -го участка стержня на упругом основании малой или большой жесткости определяются в рекуррентном виде выражениями:

$$\begin{aligned}w^{n(m)}(x) &= C_1^{n(m)} \operatorname{sh}(\lambda_1^n x) + C_2^{n(m)} \operatorname{ch}(\lambda_1^n x) + C_3^{n(m)} \operatorname{sh}(\beta_1^n x) \sin(\beta_2^n x) + C_4^{n(m)} \operatorname{sh}(\beta_1^n x) \cos(\beta_2^n x) + \\ &+ C_5^{n(m)} \operatorname{sh}(\beta_1^n x) \sin(\beta_2^n x) + C_6^{n(m)} \operatorname{ch}(\beta_1^n x) \cos(\beta_2^n x) + w_p^{n(m)}(x); \\ \psi^{n(m)}(x) &= C_1^{n(m)} b_1^n \operatorname{ch}(\lambda_1^{(m)} x) + C_2^{n(m)} b_1^n \operatorname{sh}(\lambda_1^n x) - C_3^{n(m)} b_2^n \operatorname{sh}(\beta_1^n x) \cos(\beta_2^n x) + \\ &+ C_3^{n(m)} b_3^n \operatorname{ch}(\beta_1^n x) \sin(\beta_2^n x) + C_4^{n(m)} b_2^n \operatorname{sh}(\beta_1^n x) \sin(\beta_2^n x) + C_4^{n(m)} b_3^n \operatorname{sh}(\beta_1^n x) \cos(\beta_2^n x) + \\ &+ C_5^{n(m)} b_3^n \operatorname{sh}(\beta_1^n x) \sin(\beta_2^n x) - C_5^{n(m)} b_2^n \operatorname{ch}(\beta_1^{(m)} x) \cos(\beta_2^n x) + C_6^{n(m)} b_3^n \operatorname{sh}(\beta_1^n x) \cos(\beta_2^n x) + \\ &+ C_6^{n(m)} b_2^n \operatorname{ch}(\beta_1^n x) \sin(\beta_2^n x) + C_7^{n(m)} + f_1^n(x) - f_1^{\omega n(m-1)}(x); \quad (3)\end{aligned}$$

$$\begin{aligned}u^{n(m)}(x) &= C_1^{n(m)} b_4^n \operatorname{ch}(\lambda_1^n x) + C_2^{n(m)} b_4^n \operatorname{sh}(\lambda_1^n x) - C_3^{n(m)} b_5^n \operatorname{sh}(\beta_1^n x) \cos(\beta_2^n x) + C_3^{n(m)} b_6^n \operatorname{ch}(\beta_1^n x) \sin(\beta_2^n x) + \\ &+ C_3^{n(m)} b_6^n \operatorname{ch}(\beta_1^n x) \sin(\beta_2^n x) + C_4^{n(m)} b_5^n \operatorname{sh}(\beta_1^n x) \sin(\beta_2^n x) + C_4^{n(m)} b_6^n \operatorname{ch}(\beta_1^n x) \cos(\beta_2^n x) + \\ &+ C_5^{n(m)} b_3^n \operatorname{sh}(\beta_1^n x) \sin(\beta_2^n x) - C_5^{n(m)} b_5^n \operatorname{ch}(\beta_1^n x) \cos(\beta_2^n x) + C_6^{n(m)} b_6^n \operatorname{sh}(\beta_1^n x) \cos(\beta_2^n x) + \\ &+ C_6^{n(m)} b_5^n \operatorname{ch}(\beta_1^n x) \sin(\beta_2^n x) + C_7^{n(m)} \alpha_{12}^n + C_8^{n(m)} x + C_9^{n(m)} + f_2^n(x) - f_2^{\omega n(m-1)}(x).\end{aligned}$$

Прогиб, сдвиг в заполнителе и продольное перемещение  $n$ -го участка стержня на упругом основании средней жесткости определяются в рекуррентном виде следующими выражениями.

$$\begin{aligned}w^{n(m)}(x) &= C_1^{n(m)} \operatorname{sh}(\lambda_1^n x) + C_2^{n(m)} \operatorname{ch}(\lambda_1^n x) + C_3^{n(m)} \operatorname{sh}(\lambda_3^n x) + C_4^{n(m)} \operatorname{ch}(\lambda_3^n x) + \\ &+ C_5^{n(m)} \operatorname{sh}(\lambda_5^n x) + C_6^{n(m)} \operatorname{ch}(\lambda_5^n x) + w_p^{n(m)}; \\ \psi^{n(m)}(x) &= C_1^{n(m)} b_1^n \operatorname{ch}(\lambda_1^n x) + C_2^{n(m)} b_1^n \operatorname{sh}(\lambda_1^n x) + C_3^{n(m)} b_7^n \operatorname{ch}(\lambda_3^n x) + C_4^{n(m)} b_7^n \operatorname{sh}(\lambda_3^n x) + \\ &+ C_5^{n(m)} b_8^n \operatorname{ch}(\lambda_5^n x) + C_6^{n(m)} b_8^n \operatorname{sh}(\lambda_5^n x) + C_7^{n(m)} + f_1^n(x) - f_1^{\omega n(m-1)}(x); \quad (4) \\ u^{n(m)}(x) &= C_1^{n(m)} b_4^n \operatorname{ch}(\lambda_1^n x) + C_2^{n(m)} b_4^n \operatorname{sh}(\lambda_1^n x) + C_3^{n(m)} b_9^n \operatorname{ch}(\lambda_2^n x) + C_4^{n(m)} b_9^n \operatorname{sh}(\lambda_2^n x) + \\ &+ C_5^{n(m)} b_{10}^n \operatorname{ch}(\lambda_5^n x) + C_6^{n(m)} b_{10}^n \operatorname{sh}(\lambda_5^n x) + C_7^{n(m)} \alpha_{12}^n + C_8^{n(m)} x + C_9^{n(m)} + f_1^n(x) - f_1^{\omega n(m-1)}(x).\end{aligned}$$

Входящие в (3), (4) функции определяются выражениями:

$$f_1^{\omega n(m-1)}(x) = \alpha_{10}^n \int q_{\omega}^{n(m-1)} dx + \alpha_{11}^n p_{\omega}^{n(m-1)} + \frac{h_{\omega}^{n(m-1)}}{a_5^n};$$

$$f_2^{\omega n(m-1)}(x) = \alpha_{10}^n \alpha_{12}^n \int q_{\omega}^{n(m-1)} dx + \alpha_{11}^n \alpha_{12}^n p_{\omega}^{n(m-1)} + \alpha_{14}^n \iint p_{\omega}^{n(m-1)} dx dx + \frac{\alpha_{12}^n}{a_5^n} h_{\omega}^{n(m-1)}.$$

Для определения констант интегрирования необходимо учесть граничные условия и условия сопряжения решений на границах участков.

Прогиб, сдвиг в заполнителе и продольное перемещение  $n$ -го участка стержня, не связанного с упругим основанием, определяются в рекуррентном виде следующими выражениями

$$\begin{aligned}
\psi^{n(m)}(x) &= C_1^{n(m)} b_{11}^n + C_2^{n(m)} \operatorname{sh}(\beta_3^n x) + C_3^{n(m)} \operatorname{ch}(\beta_3^n x) + g_1^n(x) - g_1^{\operatorname{on}(m-1)}(x); \\
w^{n(m)}(x) &= C_1^{n(m)} (\alpha_{17}^n b_{11}^n x + \alpha_{18}^n x^3 / 6) + C_2^{n(m)} b_{14}^n \operatorname{ch}(\beta_3^n x) + C_3^{n(m)} b_{14}^n \operatorname{sh}(\beta_3^n x) + \\
&\quad + C_4^{n(m)} x^2 / 2 + C_5^{n(m)} x + C_6^{n(m)} + g_2^n(x) - g_2^{\operatorname{on}(m-1)}(x); \\
u^{n(m)}(x) &= C_1^{n(m)} (b_{15}^n + b_{16}^n x^2) + C_2^{n(m)} b_{17}^n \operatorname{sh}(\beta_3^n x) + C_3^{n(m)} b_{17}^n \operatorname{ch}(\beta_3^n x) + C_4^{n(m)} \alpha_{13}^n x + \\
&\quad + C_5^{n(m)} \alpha_{13}^n + C_7^{n(m)} x + C_8^{n(m)} x + g_3^n(x) - g_3^{\operatorname{on}(m-1)}(x).
\end{aligned} \tag{5}$$

Входящие в (5) функции определяются выражениями:

$$\begin{aligned}
g_1^{\operatorname{on}(m-1)}(x) &= \operatorname{sh}(\beta_3^n x) \left[ \int \operatorname{ch}(\beta_3^n x) \left( b_{12}^n \int q_{\omega}^{n(m-1)} dx + b_{13}^n p_{\omega}^{n(m-1)} - \frac{\beta_3^n}{a_5^n} h_{\omega}^{n(m-1)} \right) dx \right] - \\
&\quad - \operatorname{ch}(\beta_3^n x) \left[ \int \operatorname{sh}(\beta_3^n x) \left( b_{12}^n \int q_{\omega}^{n(m-1)} dx + b_{13}^n p_{\omega}^{n(m-1)} - \frac{\beta_3^n}{a_5^n} h_{\omega}^{n(m-1)} \right) dx \right]; \\
g_2^{\operatorname{on}(m-1)}(x) &= \alpha_{17}^n \int g_1^{\operatorname{on}(m-1)} dx + \alpha_{18}^n \iiint q_{\omega}^{n(m-1)} dx dx dx + \alpha_{19}^n \iiint p_{\omega}^{n(m-1)} dx dx dx; \\
g_3^{\operatorname{on}(m-1)}(x) &= b_{18}^n g_1^{\operatorname{on}(m-1)} + b_{19}^n g_2^{\operatorname{on}(m-1)} + \alpha_{13}^n \alpha_{18}^n \iiint q_{\omega}^{n(m-1)} dx dx dx + b_{20}^n \iiint p_{\omega}^{n(m-1)} dx dx dx.
\end{aligned}$$

Для определения констант интегрирования  $C_1^n, \dots, C_8^n$  учтены граничные условия и условия сопряжения участков друг с другом.

**Теоретическое определение перемещений стержня.** Несущие слои с толщинами  $h_1 = h_2 = 0,02$  м выполнены из алюминиевого сплава Д16Т ( $E = 7,208 \cdot 10^{10}$  Па;  $\nu = 0,35$ ;  $K = 8 \cdot 10^{10}$  Па;  $G = 2,67 \cdot 10^{10}$  Па), наполнитель толщиной  $h_3 = 2c = 0,2$  м – из фторопласта (политетрафторэтилена) ( $E = 2,68 \cdot 10^8$  Па;  $\nu = 0,49$ ;  $K = 4,7 \cdot 10^9$  Па;  $G = 9,0 \cdot 10^7$  Па). Константы для принятых материалов взяты из работы [2]: для Д16Т  $A_1 = 0,96$ ;  $\alpha_1 = 2,34$ ;  $\varepsilon_s = 0,735$  %, для фторопласта  $A_1 = 0,905$ ;  $\alpha_1 = 1,48$ ;  $\varepsilon_s = 3,3$  %.

Длина стержня  $l = 2$  м, ширина  $b_0 = 0,2$  м. Стержень опирается на упругое основание двумя крайними участками ( $x_1 = 0,3 l$ ;  $x_2 = 0,7 l$ ;  $\kappa^I = 300$ ,  $\kappa^{III} = 600$  МПа/м) и испытывает действие равномерно распределенной поперечной нагрузки интенсивностью  $q = 500$  кПа.

Была составлена компьютерная программа в среде MathCad [4], учитывающая возможность применения различных материалов слоев, упругих оснований различной жесткости, распределенных и сосредоточенных нагрузок, нерегулярности границы.

Рис. 2 иллюстрирует изменение прогиба  $w$  (а), сдвига в наполнителе  $\psi$  (б) и нормальных напряжений на наружной поверхности 1-го слоя (в) по длине стержня при различной жесткости основания на участке  $l$ .

За искоемое решение принято 9-е приближение, которое отличается от предыдущих двух менее чем на 1 % – как для прогибов  $w$ , так и для сдвигов  $\psi$ . Посередине ( $x = 0,5 l$ ) наблюдаются максимумы прогибов. Напряжения на торцах положительны, а посередине пролета ( $x = 0,5 l$ ) – отрицательны, сдвиг в наполнителе переходит из положительной области в отрицательную. С уменьшением  $\kappa^I$  участка  $l$  графики меняются по форме, максимальные прогибы увеличиваются и смещаются к левой заделке. Напряжения у левой заделки имеют небольшие значения, с увеличением прогиба напряжения растут. Сдвиг в наполнителе увеличивается как в положительной области, так и в отрицательной.

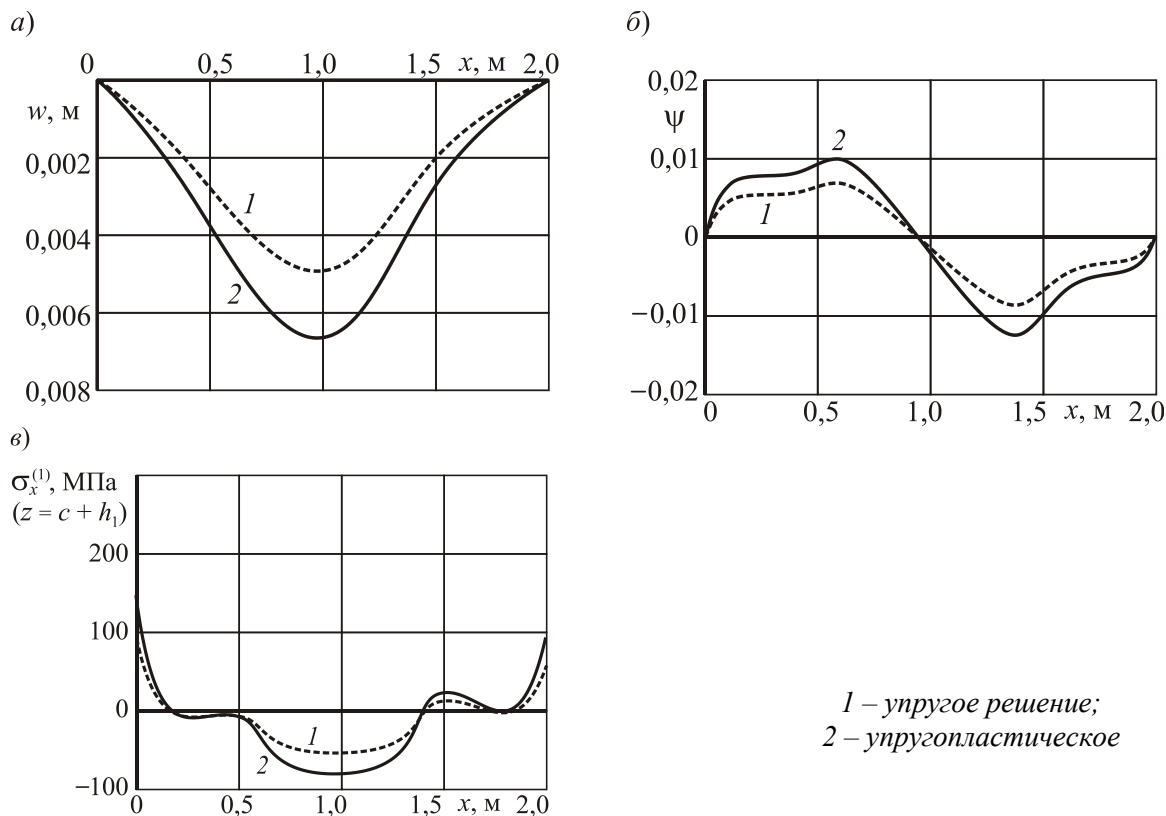


Рис. 2. Изменение прогиба  $w$  (а), сдвига в заполнителе  $\psi$  (б) и нормальных напряжений на наружной поверхности 1-го слоя (в) по длине стержня

Упругопластический прогиб и сдвиг в заполнителе стержня превосходят упругие перемещения на 46 % и 49 % соответственно.

Таким образом, исследованы прогиб, сдвиг в заполнителе, нормальные напряжения трехслойного стержня, частично опертого на упругое основание, под действием равномерно распределенной нагрузки с учетом пластичности несущих слоев и физической нелинейности заполнителя.

Работа выполнена при поддержке БРФФИ (проект T16P-010).

## ЛИТЕРАТУРА

1. Плескачевский, Ю. М. Деформирование металлополимерных систем / Ю. М. Плескачевский, Э. И. Старовойтов, А. В. Яровая. – Минск : Бел. Наука, 2004. – 342 с
2. Старовойтов, Э. И. Деформирование трехслойных элементов конструкций на упругом основании / Э. И. Старовойтов, А. В. Яровая, Д. В. Леоненко. – М : Физматлит, 2006. – 379 с.
3. Яровая, А. В. Механико-математическая модель деформирования неупругой трехслойной балки, частично опертой на упругой основание / А. В. Яровая, А. А. Поддубный // Теоретическая и прикладная механика. – 2015. – № 30. – С. 256–262.
4. Напряженно-деформированное состояние трехслойной балки, частично опертой на упругое основание: регистрационное свидетельство № 5301403768 от 03 марта 2014 г. / А. В. Яровая, А. А. Поддубный; / Государственный регистр информационных ресурсов НИРУП ИППС. – 2014.